

26. Monk R. G. Thermal relaxation of water vapor // J. Acoust. Soc. Amer.— 1969.— V. 46, N 3.
27. Bass H. E., Shields F. D. Vibrational relaxation and sound absorption in O<sub>2</sub>/H<sub>2</sub>O mixtures // J. Acoust. Soc. Amer.— 1974.— V. 56, N 3.
28. Harlow R. G., Street P. R. Sound absorption in mixtures of oxygen and water vapor in the temperature range 298—410 K // J. Acoust. Soc. Amer.— 1974.— V. 56, N 3.
29. Bass H. E., Shields F. D. Absorption of sound in air high-frequency measurements // J. Acoust. Soc. Amer.— 1977.— V. 62, N 3.
30. Eden D. D., Lindsay R. B., Zink H. Acoustical attenuation and relaxation phenomena in steam at high temperature and pressure // J. Eng. Power.— 1961.— V. 63, N 1.
31. Huber P. W., Kantrowitz A. Heat-capacity lag measurements in various gases // J. Chem. Phys.— 1947.— V. 15, N 5.
32. Zuckerwar A. J. Self deactivation of water vapor: role of dimer // J. Acoust. Soc. Amer.— 1984.— V. 76, N 1.
33. Shin H. K. Vibration to rotation energy transfer in water, heavy water and ammonia // J. Phys. Chem.— 1973.— V. 77, N 3.
34. Дубровский Г. В., Стрельчены В. М. Теория колебательно-вращательного возбуждения многоатомных молекул // Хим. физика.— 1983.— Т. 2, № 6.
35. Tanczos F. J. Calculations of vibrational relaxation times of the chloromethanes // J. Chem. Phys.— 1956.— V. 25, N 3.
36. Британ А. Б., Левин В. А., Сорокин А. А. и др. Поглощение излучения  $\lambda = 28$  мкм за ударной волной в парах воды // Хим. физика.— 1989.— Т. 8, № 3.
37. Липман Г. В., Рошко А. Элементы газовой динамики.— М.: ИЛ, 1960.
38. Британ А. Б., Тестов В. Г., Хмелевский А. И. Формирование потока за ударными волнами в парах воды в условиях конденсации на внутренней поверхности канала.— М., 1990.— (Препр./ИРЭ АН СССР; № 19(548)).

г. Москва

Поступила 4/VII 1990 г.,  
в окончательном варианте — 5/VI 1991 г.

УДК 532.59

B. B. Никулин

## РАСПАД ВЕРТИКАЛЬНОГО ТОРНАДОИОДОБНОГО ВИХРЯ

В [1] изучаются течения в торнадоподобных и полых вихрях. В длинноволновом приближении получены уравнения, аналогичные уравнениям вихревой мелкой воды [2]. Для вертикального стационарного торнадоподобного вихря, жидкость в ядре которого легче окружающей, установлен строгий критерий, разделяющий случаи, когда решение продолжаем на конечную или бесконечную высоту.

В настоящей работе, в дополнение к [1], приведены случаи, когда жидкость в ядре вихря тяжелее окружающей и сила тяжести по направлению совпадает с вертикальной скоростью. Кроме того, построен аналитический пример, в котором исследованное в [1] ограниченное по высоте решение для вихря с легким ядром непрерывно распространено на все полупространство.

**1. Постановка задачи.** Рассматривается полупространство, заполненное невязкой несжимаемой жидкостью в поле тяжести. Течение считается стационарным и вращательно-симметричным. Вводится цилиндрическая система координат  $(r\theta z)$  ( $r$  — радиус,  $\theta$  — азимутальный угол,  $z$  — ось симметрии, направленная против силы тяжести). Через  $r = r_0(z)$  обозначается граница, отделяющая ядро вихря от внешнего течения, расположенного в области  $r > r_0(z)$ . Плотность жидкости во внешнем течении считается постоянной. На границе ядра возможен скачок плотности и касательной к ней компоненты скорости. Для перехода к безразмерным величинам вводятся масштабы длины, скорости и плотности. За единицу длины принимается характерный масштаб изменений по оси  $z$ , за единицу скорости — вращательная компонента скорости при  $r = r_0$ ,  $z = 0$ , за единицу плотности — плотность внешнего течения. При этом характерные давление и ускорение будут равны единице. Безразмерное  $r_0$  при  $z = 0$  обозначим через  $\delta$ . Далее все величины, если не указано особо, берутся в безразмерном виде.

Запишем через ( $uvw$ ) компоненты скорости, соответствующие ( $r\theta z$ );  $p$  — давление;  $\rho$  — плотность;  $g$  — ускорение силы тяжести. Внешнее течение считается известным и задается в виде, удовлетворяющем уравнениям движения:

$$(1.1) \quad u = w = 0, v = \delta/r, p = -\delta^2/(2r^2) - gz.$$

Течение в ядре вихря исследуется в длинноволновом по оси  $z$  приближении. Совершается растяжение координат и функций:

$$\begin{aligned} r^2 &\rightarrow \delta^2\eta, z \rightarrow z, 2ur \rightarrow \delta^2q, vr \rightarrow \delta A, \\ w &\rightarrow w, \rho \rightarrow \rho, p \rightarrow p, g \rightarrow g. \end{aligned}$$

Граница  $r_0(z)$  переходит в  $\eta_0(z)$ . После замены уравнения движения и неразрывности принимают вид

$$(1.2) \quad \begin{aligned} q \frac{\partial A}{\partial \eta} + w \frac{\partial A}{\partial z} &= 0, \\ \frac{\rho \delta^2}{2} \left( q \frac{\partial q}{\partial \eta} - \frac{q^2}{2\eta} + w \frac{\partial w}{\partial z} \right) - \frac{\rho A^2}{\eta} &= -2\eta \frac{\partial p}{\partial \eta}, \\ \rho \left( q \frac{\partial w}{\partial \eta} + w \frac{\partial w}{\partial z} \right) &= -\frac{\partial p}{\partial z} - \rho g, \\ \frac{\partial q}{\partial \eta} + \frac{\partial w}{\partial z} &= 0, \quad q \frac{\partial \rho}{\partial \eta} + w \frac{\partial \rho}{\partial z} = 0. \end{aligned}$$

На оси симметрии и границе ядра ставятся краевые условия

$$(1.3) \quad q = A = 0, \quad \eta = 0;$$

$$(1.4) \quad p = -1/(2\eta_0) - gz, \quad \eta = \eta_0;$$

$$(1.5) \quad q = w(\partial\eta_0/\partial z), \quad \eta = \eta_0.$$

Условие (1.4) следует из (1.1) и требования непрерывности давления на границе ядра, (1.5) — кинематическое условие.

Предполагается, что  $\delta \ll 1$ . Слагаемые в (1.2), пропорциональные  $\delta^2$ , опускаются. Полученная система преобразуется аналогично [1]. Вводятся новые независимые переменные  $z'$ ,  $v$ ,  $v \in [0, 1]$ , по соотношениям  $z = z'$ ,  $\eta = R(z', v)$ , где  $R$  удовлетворяет уравнению

$$(1.6) \quad w(\partial R/\partial z') = q$$

и краевым условиям

$$(1.7) \quad R(z', 0) = 0, \quad R(z', 1) = \eta_0,$$

$R(0, v)$  — произвольная однозначная непрерывная функция. При таком определении  $R$  краевые условия (1.3) (для  $q$ ) и (1.5) выполняются автоматически. Неизвестная граница  $\eta_0(z)$  переходит в известную  $v = 1$ . В переменных  $z'$ ,  $v$  система (1.2) принимает вид (далее штрихи при  $z'$  опускаются)

$$(1.8) \quad \begin{aligned} w \frac{\partial A}{\partial z} &= 0, \quad \frac{\rho A^2}{2R^2} \frac{\partial R}{\partial v} = \frac{\partial p}{\partial v}, \\ \rho \frac{\partial R}{\partial v} w \frac{\partial w}{\partial z} &= -\frac{\partial R}{\partial v} \frac{\partial p}{\partial z} + \frac{\partial R}{\partial z} \frac{\partial p}{\partial v} - \rho g \frac{\partial R}{\partial v}, \\ \frac{\partial q}{\partial v} + \frac{\partial R}{\partial v} \frac{\partial w}{\partial z} &- \frac{\partial R}{\partial z} \frac{\partial w}{\partial v} = 0, \quad w \frac{\partial \rho}{\partial z} = 0. \end{aligned}$$

Из первого и последнего уравнений следует, что  $A = A(v)$ ,  $\rho = \rho(v)$ . Отсюда после интегрирования второго уравнения (1.8) с учетом (1.4) исключается  $p$ . С помощью (1.6) исключается  $q$ . В результате получаем

$$(1.9) \quad \rho w \frac{\partial w}{\partial z} = -\frac{1 - \rho_1 A_1^2}{2R_1^2} \frac{dR_1}{dz} + \frac{\partial}{\partial z} \int_v^1 \frac{1}{2R} \frac{d(\rho A^2)}{dv} dv + (1 - \rho) \xi, \quad \frac{\partial}{\partial z} \left( w \frac{\partial R}{\partial v} \right) = 0.$$

Здесь  $R_1, A_1, \rho_1$  — значения  $R, A, \rho$  при  $v = 1$  (на границе ядра). Система (1.9) решается с начальными данными при  $z = 0$ . Полагается  $w = w_0(v)$ ,  $R = v$  при  $z = 0$ .

В [1] изучен случай  $A = 0, \rho = \text{const} < 1$ . В настоящей работе результаты обобщаются для  $\rho > 1$ .

**Теорема.** Пусть  $A = 0, \rho = \rho_1 = \text{const}$ ,  $w_0(v)$  ограничена и  $w_0(v) \geqslant \gamma > 0$ ,  $\gamma$  — постоянная,

$$\lambda = \frac{1}{2\rho_1} \int_0^1 \frac{dv}{w_0^2}.$$

Разделяются случаи  $\rho_1 < 1$  и  $\rho_1 > 1$ .

1. Пусть  $\rho_1 < 1$ . Тогда, если  $\lambda < 1$ , то решение существует при всех  $z > 0$ ,  $v \in [01]$ , причем  $R \rightarrow 0$ ,  $w \rightarrow \infty$  монотонно при  $z \rightarrow \infty$ . Если  $\lambda > 1$ , то решение существует только для  $z \leqslant l$ ,

$$(1.10) \quad l = \frac{\rho_1}{2(1-\rho_1)g} \left( \frac{1}{\rho_1} - \gamma^2 - \frac{1}{\rho_1 \int_0^1 \frac{w_0 dv}{\sqrt{w_0^2 - \gamma^2}}} \right),$$

причем  $w = 0, \partial R / \partial v = \infty$  при  $z = l$  для  $v$ , задаваемых уравнением  $w_0(v) = \gamma$ .

2. Пусть  $\rho_1 > 1$ . Дополнительно предполагается, что  $(w_0 - \gamma)^{-3/2}$  не интегрируема на  $[01]$ . Тогда при любом  $\lambda > 0$  решение существует только для конечных  $z$ ,  $z \leqslant h$ . При  $z \rightarrow h$  производные  $\partial w / \partial z \rightarrow \infty$ ,  $\partial R / \partial z \rightarrow -\infty$ , если  $\lambda > 1$ , и  $\partial w / \partial z \rightarrow -\infty$ ,  $\partial R / \partial z \rightarrow \infty$ , если  $\lambda < 1$ . При  $\lambda > 1$   $w$  монотонно возрастает, а  $R$  убывает с ростом  $z$ . При  $\lambda < 1$   $w$  монотонно убывает, а  $R$  возрастает с увеличением  $z$ .

Доказательство. Доказательство для  $\rho_1 < 1$  приведено в [1]. Рассматривается случай  $\rho_1 > 1$ .

В (1.9) полагается  $A = 0, \rho = \rho_1$ . Система интегрируется от 0 до  $z$ . Из полученного второго уравнения интегрированием по  $v$  выражается  $R$ . Обозначив  $\varphi = w^2 - w_0^2$ , получим

$$(1.11) \quad \varphi - \frac{1}{\rho_1 R_1} = \frac{2(1-\rho_1)}{\rho_1} \tilde{g}z - \frac{1}{\rho_1}, \quad R = \int_0^v \frac{w_0 dv}{(w_0^2 + \varphi)^{1/2}}$$

( $R_1$  — значение  $R$  при  $v = 1$ ). Из первого уравнения вытекает, что  $\varphi = \varphi(z)$ . Отсюда, исследуя неявную зависимость  $\varphi(z)$ , даваемую (1.11), можно найти зависимость от  $z$  функций  $R$  и  $w$ .

Левая часть первого уравнения (1.11) обозначается через  $f(\varphi)$ . Тогда

$$(1.12) \quad f'(\varphi) = 1 - \frac{1}{2\rho_1 R_1^2} \int_0^1 \frac{w_0 dv}{(w_0^2 + \varphi)^{3/2}},$$

$$f''(\varphi) = \frac{3}{4\rho_1 R_1^2} \int_0^1 \frac{w_0 dv}{(w_0^2 + \varphi)^{5/2}} - \frac{1}{2\rho_1 R_1^3} \left( \int_0^1 \frac{w_0 dv}{(w_0^2 + \varphi)^{3/2}} \right)^2.$$

Второе слагаемое в  $f''(\varphi)$  оценивается с помощью неравенства Буняковского [1]. Получается, что  $f''(\varphi) > 0$  для конечных  $\varphi \geqslant -\gamma^2$ . Отсюда  $f'(\varphi)$  — монотонно возрастающая функция. Из (1.12) и дополнительного предположения для  $\rho_1 > 1$  следует, что  $f'(\varphi) \rightarrow -\infty$  при  $\varphi \rightarrow -\gamma^2$  и  $f'(\varphi) \rightarrow 1$  при  $\varphi \rightarrow \infty$ . Таким образом,  $f'(\varphi)$  имеет единственный нуль на интервале  $(-\gamma^2, \infty)$ , который достигается при  $\varphi = \varphi_*$ ,  $-\gamma^2 < \varphi_* < \infty$ . Очевидно, что функция  $f(\varphi)$  в точке  $\varphi_*$  имеет абсолютный минимум;  $\varphi_*$  находится из решения интегрального уравнения  $f'(\varphi_*) = 0$ .

Из определения  $f$  вытекает

$$(1.13) \quad \frac{df}{dz} = \frac{df}{d\varphi} \frac{d\varphi}{dz} = -\frac{2(\rho_1 - 1)}{\rho_1} g < 0.$$

Отсюда знак  $d\varphi/dz$  задается знаком  $f'(\varphi)$ , а в силу монотонности  $f'(\varphi)$  — знаком  $f'(0)$ . Так как  $\varphi(0) = 0$ , то  $f'(0) = 1 - \lambda$ . Пусть  $\lambda < 1$ . Тогда  $f'(0) > 0$  и  $\varphi$  монотонно убывает с ростом  $z$  от 0 до  $\varphi_*$ . В данном случае в силу  $f'(0) > 0$  и монотонности  $f'(\varphi)$   $\varphi_* < 0$ . При  $\varphi \rightarrow \varphi_*$   $z \rightarrow h$ , где  $h$  вычисляется из (1.11) с  $\varphi = \varphi_*$ . Легко видеть, что  $h$  будет конечной. При  $z > h$  решения не существует, так как правая часть первого уравнения (1.11) убывает с ростом  $z$ , а левая при  $z = h$  ( $\varphi = \varphi_*$ ) достигает абсолютного минимума. Из (1.13) следует, что  $d\varphi/dz \rightarrow -\infty$  при  $z \rightarrow h$  (так как при этом  $\varphi \rightarrow \varphi_*$ ). Тогда из (1.11) и определения  $\varphi$  вытекает, что  $dw/dz \rightarrow -\infty$ ,  $\partial R/\partial z \rightarrow \infty$  при  $z \rightarrow h$ , значение  $w$  убывает, а  $R$  возрастает с увеличением  $z$  от 0 до  $h$ .

Пусть  $\lambda > 1$ . Проведя рассуждения, аналогичные предыдущим, можно показать, что решение существует также только для ограниченных  $z \leq h$ , при этом  $\varphi_* > 0$ ,  $d\varphi/dz \rightarrow \infty$ ,  $dw/dz \rightarrow \infty$ ,  $\partial R/\partial z \rightarrow -\infty$  при  $z \rightarrow h$ ,  $w$  возрастает, а  $R$  убывает с увеличением  $z$  от 0 до  $h$ . Теорема доказана.

Полученные результаты обобщаются, когда направления  $g$  и  $w$  совпадают. Формулировка теоремы не изменяется, за исключением того, что случаи  $\rho_1 < 1$  и  $\rho_1 > 1$  меняются местами.

**2. Модель распада вихря.** Построен аналитический пример непрерывного продолжения решения на все верхнее полупространство для течения, параметры которого удовлетворяют условиям теоремы и неравенствам  $\rho_1 < 1$ ,  $\lambda > 1$ . Дополнительно предполагается, что  $w_0(v)$  имеет единственный минимум, равный  $\gamma$ , достигаемый в точке  $v = 0$ , и функция  $(w_0 - \gamma)^{-1/2}$  интегрируема в нуле ( $v = 0$ ).

Согласно теореме, решение существует лишь для  $z \leq l$  ( $l$  определяется из (1.10)), причем в точке  $z = l$ ,  $v = 0$  вертикальная скорость  $w = 0$ , а  $\partial R/\partial v = \infty$ . Отсюда для продолжения решения за уровень  $z = l$  линию  $R = 0$  можно разделить на две в точке  $z = l$ ,  $v = 0$  в осевой плоскости.

Таким образом, предполагается, что структура течения в осевой плоскости имеет вид, изображенный на рисунке. На границе между областями I и III считаются непрерывными  $p$ ,  $(uvw)$ ,  $R$  и  $\rho$ . На границах между II и III, между III и внешним течением непрерывно давление и выполнено кинематическое условие. Из непрерывности компонент скорости, согласно (1.6) и определению  $\varphi$ , следует непрерывность  $\partial R/\partial z$  и  $\varphi$  на границе  $z = l$ .

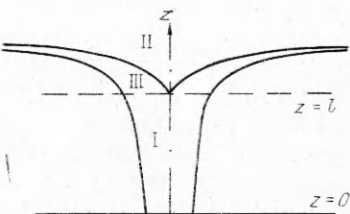
Предполагается, что область II заполнена покоящейся жидкостью постоянной плотности  $\rho_2$ . В области III течение будет описываться первым уравнением системы (1.11) и вместо второго в силу изменения условия на  $R$  при  $v = 0$  — уравнением

$$(2.1) \quad R = R_1 - \int_v^l \frac{w_0 dv}{(w_0^2 + \varphi)^{1/2}},$$

которое справедливо и в I. В силу условия на  $\rho$  при  $z = l$  плотность в области III будет равна  $\rho_1$ . Функция  $\varphi(z)$  по построению считается непрерывной при  $z = l$ . Тогда из (2.1) следует непрерывность по  $z$  функции  $R(v, z)$  для каждого  $v$ . В силу второго уравнения (1.8) и условия  $A = 0$  давление в областях II и III при равных  $z$  одинаковое и, согласно (1.4), запишется как

$$(2.2) \quad p = -1/2R_1 - gz.$$

Это обеспечивает непрерывность давления



на границах. С другой стороны, в области  $II$  из уравнения гидростатики следует  $p = -\rho_2 g z + \text{const}$ . Отсюда и из (2.2) находится  $R_1$ :

$$(2.3) \quad 1/R_1 = 1/R_{10} - 2(1 - \rho_2)g(z - l).$$

Здесь  $R_{10}$  (значение  $R_1$  при  $z = l$ ) выражается согласно (1.11) с  $\varphi = -\gamma^2$  [1]. Подстановка (2.3) в первое уравнение (1.11) дает значения  $\varphi$  в области  $III$ , а  $\varphi$  в (2.1)— величину  $R$ .

Требование непрерывности  $\partial R/\partial z$  при  $z = l$  накладывает ограничения на  $\rho_2$ . Как было доказано, из (1.13) имеем  $d\varphi/dz = 0$  в области  $I$  при  $z = l$ . Отсюда  $dR/dz = dR_1/dz$  в  $I$  при  $z = l$ . Величина  $dR_1/dz$  находится при использовании (1.11)–(1.13) с учетом того, что  $\varphi = -\gamma^2$  при  $z = l$  [1]. Тогда  $dR_1/dz = 2(1 - \rho_1)gR_1^2$ . В области  $III$   $dR/dz$  вычисляется из (2.1) с учетом (2.3) и первого уравнения (1.11). Получается, что  $dR/dz$  такое же, как в  $I$ , если  $\rho_2 = \rho_1$ .

Таким образом, условия на границах областей, уравнения (1.11) и (2.1) удовлетворены. Область  $II$  заполнена покоящейся жидкостью плотности  $\rho_1$ . Внешняя граница области  $III$   $R_1$  определяется согласно (2.3) с  $\rho_2 = \rho_1$ . Величина  $\varphi$  в  $III$  постоянна и равна  $-\gamma^2$ . Граница между областями  $II$  и  $III$  находится согласно (2.1) при  $\varphi = -\gamma^2$ . Отсюда и из (2.3) вытекает, что высота области  $III$  ограничена величиной

$$\Delta l = 1/[2R_{10}(1 - \rho_1)g].$$

Тогда полную высоту подъема жидкости с учетом (1.10) и выражения для  $R_{10}$  запишем как

$$H = l + \Delta l = \frac{\rho_1}{2(1 - \rho_1)g} \left( \frac{1}{\rho_1} - \gamma^2 \right).$$

Заметим, что  $H$  зависит только от минимального значения  $w_0$ , равного  $\gamma$ , но не зависит от распределения  $w_0(v)$ . Используя то, что в данном случае  $\lambda > 1$ , легко получить, что  $\gamma^2 < 1/(2\rho_1)$ . Отсюда имеем ограничения на  $H$ :

$$1/[4(1 - \rho_1)g] < H < 1/[2(1 - \rho_1)g].$$

Данные неравенства позволяют оценивать  $H$  по порядку величины без знания  $w_0$ . Для размерных значений такая оценка имеет вид

$$(2.4) \quad H \approx \rho_0 v_0^2 / [2g(\rho_0 - \rho_1)]$$

( $v_0$  — вращательная компонента скорости на границе ядра при  $z = 0$ ,  $\rho_0$  — плотность жидкости во внешней области).

**3. Обсуждение результатов, сравнение с наблюдениями.** В случае  $\rho_1 > 1$ ,  $\lambda > 1$  (согласно п. 2 теоремы) вертикальная скорость  $w$  и вращательная компонента скорости на границе ядра  $v$  (так как  $v = 1/\sqrt{R_1}$ ) растут с увеличением  $z$ . Это, возможно, объясняет эффект засасывания смерчом жидкости [3], а также является одним из механизмов интенсификации вращения смерчевого ядра. Отметим, что при  $\rho_1 > 1$  решение перестает существовать по причине обращения в бесконечность производных от искомых функций. Данное свойство аналогично «градиентной катастрофе» в газовой динамике, приводящей к образованию ударных волн. Подобная аналогия говорит в пользу того, что на высоте, где гладкое решение теряет существование, происходит резкое изменение ядра вихря с переходом его в новое с другими параметрами.

Представляет интерес структура течения для  $\rho_1 < 1$ ,  $\lambda > 1$ , изображенная на рисунке. Из экспериментов с вихрями, получаемыми при нагреве подстилающей поверхности [4, 5], наблюдений за пыльными вихрями [6, 7] известно, что ядро вихря, обычно визуализированное мелкими частицами, на некоторой высоте резко теряет свою видимость, исчезает, при этом структура течения изменяется [4, 5]. Резкое исчезновение видимого ядра можно объяснить тем, что при растекании жидкости в области  $III$  ее толщина убывает, и поэтому она быстро перемешивается с

окружающей средой и становится невидимой. Такая картина течения в основных чертах может моделировать процесс распада вихря.

Используя (2.4), можно получить количественные оценки и сравнить их с наблюдениями. За высоту вихря в экспериментах принимается высота, на которой происходит резкое изменение структуры течения [4, 5]. При вычислениях разность плотностей удобно выразить через разность температур. При  $\rho_0 - \rho_1 \ll \rho_0$  имеем  $(\rho_0 - \rho_1)/\rho_0 \approx (T_1 - T_0)/T_0$  ( $T_1$  — средняя температура в ядре,  $T_0$  — температура окружающего воздуха). Тогда

$$(3.1) \quad H \approx v_0^2 T_0 / [2g(T_1 - T_0)].$$

Аналогичное выражение для высоты вихря получено в [1] для частного случая, когда  $w_0 = \text{const}$  и не зависела от  $v$ . В настоящей работе показано, что при учете высоты подъема жидкости в области III данная оценка справедлива для любой  $w_0(v)$ , удовлетворяющей условию  $\lambda > 1$ . Сравнение формулы (3.1) с экспериментами [4, 5] и наблюдениями за пыльными вихрями [6–8] выполнено в [1]. Показано, что расчеты по порядку величины согласуются с данными лабораторных измерений и наблюдений за пыльными вихрями.

Таким образом, в предложенной теоретической модели удается исследовать течение в ядре стационарного торнадоподобного вихря с учетом непостоянства вертикальной компоненты скорости в горизонтальном сечении ядра. Благодаря этому установлена возможность продолжаемости непрерывного решения на бесконечную или ограниченную высоту, причем радиус ядра может оставаться конечным. Проведена классификация непродолжаемых решений: решение прекращает существование либо из-за обращения вертикальной скорости в нуль, либо из-за стремления производных к бесконечности. В первом случае можно провести аналогию с течением в пограничном слое. Положение точки остановки в пограничном слое связывается с началом его отрыва, в ядре вихря — с началом его распада, а во втором случае — с течениями в газовой динамике: разрушение решения с математической точки зрения происходит по одним и тем же причинам. Дано описание пространственной эволюции ядра вихря, предложена картина течения в области его распада. Получена количественная оценка высоты торнадоподобного вихря, местоположения его распада.

Автор выражает благодарность В. М. Тешукову за полезные обсуждения рассматриваемых вопросов.

#### ЛИТЕРАТУРА

1. Никулин В. В. Аналог уравнений вихревой мелкой воды для полых и торнадоподобных вихрей. Высота стационарного торнадоподобного вихря // ПМТФ.— 1992.— № 2.
2. Тешуков В. М. О гиперболичности уравнений длинных волн // ДАН СССР.— 1985.— № 3.
3. Наливкин Д. В. Ураганы, бури, смерчи.— Л.: Наука, 1969.
4. Fitzjarrald D. E. A laboratory simulation of convective vortices // J. Atmos. Sci.— 1973.— V. 30, N 7.
5. Mullen J. B., Maxworthy T. A laboratory model of dust devil vortices // Dyn. Atmos. and Oceans.— 1977.— № 1.
6. Ives R. L. Behavior of dust devil // Bull. Amer. Meteorol. Soc.— 1947.— V. 28, N 4.
7. Williams N. R. Development of dust whirls // Bull. Amer. Meteorol. Soc.— 1948.— V. 29, N 3.
8. Sinclair P. C. The lower structure of dust devils // J. Atmos. Sci.— 1973.— V. 30, N 8.